

九州大学工学部 正員 粟谷陽一

" 桐田洋子

" 学生員 山崎惟義

はじめに：底層汚泥による表面水中基質の酸化について、種々の実験研究が行われているが、基質の減少速度と酸素及び基質の汚泥中の拡散との関係についてはあまり知られていない。ところで底層汚泥の酸化作用における、曝気槽内と異て、拡散が重要な問題と考えられる。本報告では特に拡散による、基質及び酸素の供給と汚泥によるこれらの物質の消費との関係に重点をかけて検討した。

理論： a t c 式の底層汚泥による表面水中基質の酸化の実験を行ふと、基質濃度は時間とともに減少する。基質の減少量は、表面水中で反応が起らなければ、汚泥表面を通じて内部への拡散量に等しい。拡散は汚泥中の物質の消費によって生ずる濃度勾配によって行はれる。この消費は酸素の供給に影響される所が大であり、したがって基質及び酸素の拡散を同時に考えなくてはならぬ。ここで、汚泥中の反応は一次反応である。(1) 基質の減少速度は少しでも酸素があると、酸素濃度の影響を受けない。よる仮定をすると以下の理論が成立する。

汚泥表面から深さ x の面の基質濃度及び酸素濃度 L , C は次式で与えられる。

$$\frac{\partial L}{\partial t} = D \frac{\partial^2 L}{\partial x^2} - KL \quad \dots \dots (1) \quad \frac{\partial C}{\partial t} = D_c \frac{\partial^2 C}{\partial x^2} - K_c L \quad \dots \dots (2)$$

ここで D , D_c は汚泥中の基質及び酸素拡散係数, K , K_c は基質及び酸素の反応速度定数。

汚泥内部での反応速度と比べて表面水中的基質濃度 L_0 及び酸素濃度 C_0 の減少速度は非常に小となり、汚泥内部では供給と消費との間に平衡状態が成立していると考えられる。したがって $dL/dt = 0$ となり(1)及び(2)は次の様になる。

$$D \frac{d^2 L}{d x^2} - KL = 0 \quad \dots \dots (3) \quad D_c \frac{d^2 C}{d x^2} - K_c L = 0 \quad \dots \dots (4)$$

L 及び C の初期状態が現われない場合、(4)初期状態が現われる場合、について仮定より図-(1) 図-(2)の様に示す。この条件の下に式(3), 式(4)を解き汚泥の単位表面を通じて単位時間に拡散する量 D ($dL/dx|_{x=0}$) を求めよ。

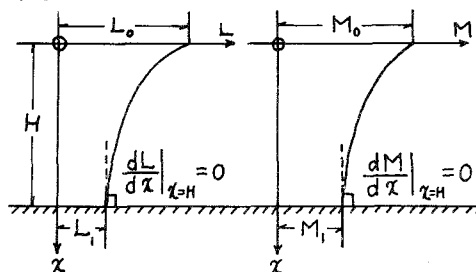


図-(1)

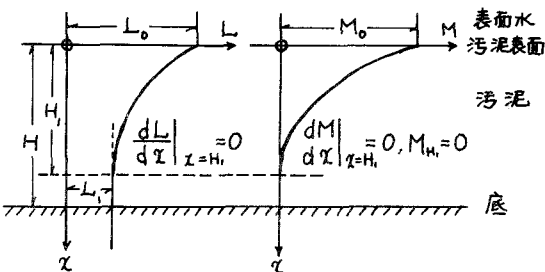


図-(2)

(1) : $x=0$ で L は表面水中の基質濃度 L_0 に等しく $L=L_0$, $x=H$ では, それ以下には基質は拡散されないから $L=0$ となる。酸素不足を生じないからこの条件により(1)を解くと

$$L = \frac{L_0 \cosh \sqrt{\frac{K}{D_L}}(H-x)}{\cosh \sqrt{\frac{K}{D_L}}H}, \quad D_L \frac{dL}{dx} \Big|_{x=0} \text{ を求めると}$$

$$D_L \frac{dL}{dx} \Big|_{x=0} = -L \sqrt{\frac{K}{D_L}} \tanh \sqrt{\frac{K}{D_L}} H, \quad \phi = -\frac{D_L}{L_0 \sqrt{\frac{K}{D_L}}} \frac{dL}{dx} \Big|_{x=0} \text{ とおくと}$$

$$\phi = \tanh \sqrt{\frac{K}{D_L}} H \quad (5)$$

(2) : $x=H_1$ 以下では酸素不足のため基質は酸化されず L は一定の値になる。このため $x=H_1$ で $dL/dx=0$ となる。又 $x=0$ の(1)と同様に $L=L_0$ である。この条件により(2)を解くと

$$L = \frac{L_0 \cosh \sqrt{\frac{K}{D_L}}(H_1-x)}{\cosh \sqrt{\frac{K}{D_L}}H_1} \quad \text{これを(4)に代入して } \begin{cases} x=0 \text{ で } C=C_0 \\ x=H_1 \text{ で } C=0 \frac{dC}{dx}=0 \end{cases} \text{ の条件の下で } C \text{ を求めると}$$

よし、

$$D_C C = \frac{K D_L L_0 \cosh \sqrt{\frac{K}{D_L}}(H_1-x)}{K \cosh \sqrt{\frac{K}{D_L}}H_1} - \frac{K}{K D_L L_0} \left(1 - \frac{K D_C C_0}{K D_L L_0} \right)$$

これを $x=H_1$ とおくと

$$\cosh \sqrt{\frac{K}{D_L}}H_1 = \frac{1}{1 - (K D_C C_0 / K D_L L_0)} \quad \text{とすれば } H_1 \text{ を定めて } D_L \frac{dL}{dx} \Big|_{x=0} \text{ を求めると}$$

$$D_L \frac{dL}{dx} \Big|_{x=0} = -L_0 \sqrt{\frac{K}{D_L}} \tanh \sqrt{\frac{K}{D_L}} H_1 \quad \text{となる。 } \phi_2 = -\frac{D_L}{L_0 \sqrt{\frac{K}{D_L}}} \frac{dL}{dx} \Big|_{x=0} \text{ とおくと}$$

$$\phi_2 = \tanh \sqrt{\frac{K}{D_L}} H_1 \quad (6) \quad \therefore \zeta = \frac{K D_L L_0}{K D_C C_0} \text{ とおくと(6)は}$$

$$\phi_2 = \sqrt{1 - (1 - \frac{1}{\zeta})^2} \quad (6)' \quad \text{とある。}$$

図-(3)

ϕ_1, ϕ_2 のグラフは図(3)のとおりである

ϕ_1 のグラフは H のみに関係して $\phi_1 \phi_2$

に対しては一定の値となる。 ϕ_2 のグラ

フについて、 $\zeta=1$ では $\cosh \sqrt{\frac{K}{D_L}}H_1 =$

1 となり $H \rightarrow \infty$ となる。 $\zeta < 1$ にお

いては $\cosh \sqrt{\frac{K}{D_L}}H_1 < 0$ となるよう H は

存在しない。故に $\zeta < 1$ のままで

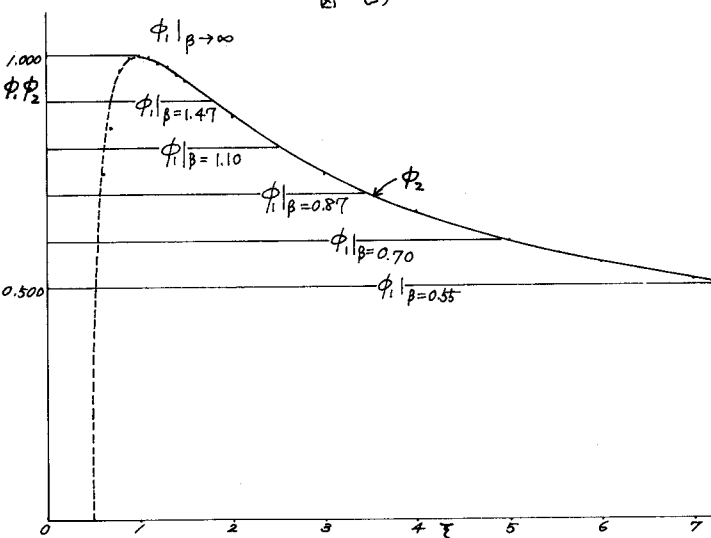
ϕ_2 は考えられない。ある H の値のま

と ϕ_2 とが交わる時の値に対しては、

$\tanh \sqrt{\frac{K}{D_L}}H = \tanh \sqrt{\frac{K}{D_L}}H_1$ となり、

$H = H_1$ である。それより小さな時の

値では $H > H_1$ となり図(1)に相当する



したがって $(D_L / L_0 \sqrt{F_L}) dL / dX_{\alpha=0}$ は右にしたがう。又それより大王ほどの値では $H < H_1$ となり図(4)に相当する。したがって $(D_L / L_0 \sqrt{F_L}) dL / dX_{\alpha=0}$ は左にしたがう。

実験：実験装置を図(4)に示す。

(1)反応槽：プラスチック製で圓の様に底に汚泥を沈じんさせ、表面水として強化希臘水を入れ、表面水中に基質を入れて反応させる。

(2)保溫槽：プラスチック製で水を入れ槽内のヒーターで温度を上げ反応槽の温度を一定に保つ。

(3)サーモスイッチ：反応槽内におま保溫槽内のヒーターと接続して反応槽の温度を一定に保つ。

(4)ヒーター：室温は全実験期間を通じて 20°C 以下であったので、保溫はヒーターによって行なった。

(5)曝氣：金魚ハチ用のベビーコニーフレッサーと散気装置を用いて $1.0 \text{ l}/\text{min}$ の空気を反応槽内に送り曝氣を行なった。DOメーターによってDOを測定したがほとんど飽和していた。

この実験に用いた汚泥は、1967年11月に福岡中央下水処理場の反送汚泥を採取しれられて約1年間 $\text{SS} = 28.4 \text{ ppm}$ に対して脱脂乳 2000 ppm/day で培養熟化したもの用いた。成分は表(1)に示すところである。

実験は次の手順で行なった。

(1)前日から基質を加えずに曝氣を行なって、汚泥を一定量反応槽に入れる。全量が 11.2 l にする様に希臘水を入れ、充分かくはんし汚泥が均一に沈んでる様にする。(2)基質として脱脂乳を 100 ml の希臘水にけんだけさせ、沈殿汚泥を乱さない様に反応槽に投入する。(3)反応槽より一定時間おまに採水しCODを週マニがニ酸カリウム法によって測定する。

以上の実験を基質濃度、汚泥量を変えて行なった。又別に連続的に脱脂乳を加えて表面水中基質濃度が一定になって投入をやめその後のCODを測定する実験を行なった。これは吸着が酸素を消費せず基質濃度を減らせるため前述の理論があこはまらない場合が生ずる可能性があるためである。

実験結果：CODの減少と時間とのグラフにすると図(5)のようになる。実線は一度に脱脂乳を投入したときのグラフ破線は連続的に脱脂乳を投入したときの曲線である。この二つから吸着作用はこの実験では反応速度に影響を与えないといいう事が言える。最終的に分解されないと思われるCOD量を差し引いて片対数用紙にプロットして

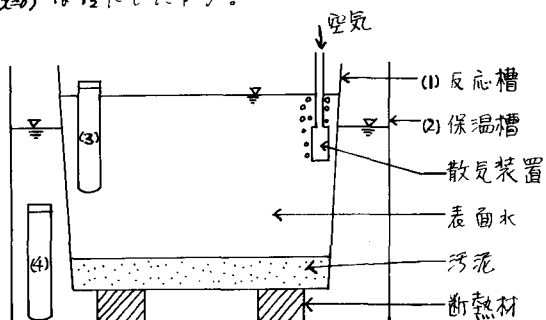


図-(4)

馴化された汚泥の性質	
MLSS	28.41 g/l
MLVSS	22.99 g/l
熱灼残留物	5.42 g/l
沈殿率	84.69 %
沈殿30分	846.9 ml
SVI	29.8
SDI	3.36

表-(1)

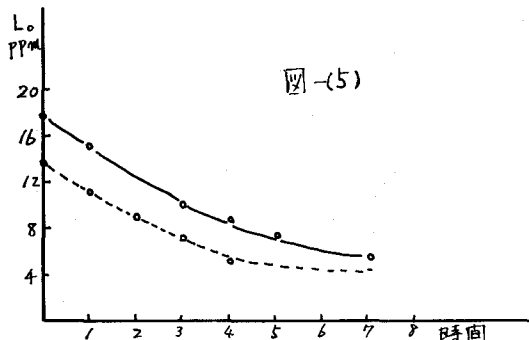


図-(5)

れによって COD の半減期を求める、

$$\frac{1}{L_0} \left(\frac{dL_0}{dt} \right) = \ln 2 / t_{1/2}$$
 を求めると表(2)の様になる。

考察と結論: $\frac{1}{L_0} \left(\frac{dL_0}{dt} \right)$ を縦軸に、 L_0 を横軸にとってグラフを描くと、図(6)のようになる。これによると大体の傾向として、 $H : \text{conet}$ の曲線は $L_0 < 25 \text{ ppm}$ では $\frac{1}{L_0} \left(\frac{dL_0}{dt} \right)$ は L_0 に関係なく一定である。 $L_0 > 25 \text{ ppm}$ では H に関係なく L_0 の増大とともに減少する。これらのこと次のように考えられる。

$L_0 < 25 \text{ ppm}$ では L_0 が低くあって内部の基質濃度がこれに比例して低くなっているために、汚泥中の酸素はあまり消費されず、 L_0 の減少速度に影響を及ぼさない。したがって $\frac{1}{L_0} \left(\frac{dL_0}{dt} \right)$ は汚泥の厚さのみに関係している。又基質の

拡散量と消費量は L_0 に比例してなるため、 $\frac{1}{L_0} \left(\frac{dL_0}{dt} \right)$ は一定となる。 $L_0 > 25 \text{ ppm}$ では L_0 が大きくなるため、酸素の消費が大であるため、酸素はある深さ以下には達しない。したがってその深さ以下の汚泥は L_0 の減少速度に影響を及ぼさない。つまり $\frac{1}{L_0} \left(\frac{dL_0}{dt} \right)$ は H に関係しない。又酸素不足によって dL_0/dt が酸素の供給速度によって頭打ちになるために L_0 の増大とともに $\frac{1}{L_0} \left(\frac{dL_0}{dt} \right)$ は減少する。

理論式において、汚泥表面から内部への拡散による単位面積あたりの基質の移動を ϕ とすると、

$$f = D_L \frac{dL}{dx} \Big|_{x=0} \quad \text{であり} \quad \phi = \frac{D_L}{L_0} \sqrt{\frac{K_D}{D_L}} \frac{dL}{dx} \Big|_{x=0} \frac{1}{\text{hour}} \quad \frac{1}{L_0} \frac{dL_0}{dt} = 0$$

であるから f と ϕ の関係は

$$\phi = \frac{f}{L_0 \sqrt{\frac{K_D}{D_L}}} \quad f = \frac{A d L_0}{V dt} = k \frac{d L_0}{dt}$$

A: 汚泥の表面積、V: 表面水の体積
k: 表面水の水深、である。

$(K_D D_L / K_D C_e) = 1.5$, $\sqrt{\frac{K_D}{D_L}} = 3.67$ と仮定して、

(5), (6)'の曲線を図(6)に示す。 (K_D / K_D)

$\sqrt{\frac{K_D}{D_L}}$ の値が正確に出でないのでため定量的

的なことは言えないが以上から假定の、(2)

と図(1), (2)とを考慮する事によって表面水

中基質の減少速度が酸素と基質の拡散と

汚泥中の消費に支配されるという事がわ

かる。

実験番号	汚泥の深さ CM	L_0 PPM	半減期時間	$\frac{1}{L_0} \frac{dL_0}{dt}$ /時間	差引き COD PPM
1	2	60	7.3	0.095	4.0
2	2	23	3.0	0.2310	3.15
3	2	28	2.1	0.330	2.44
5	2	12	3.1	0.224	2.2
8	1	23	3.3	0.210	3.2
9	1	10	3.5	0.198	0.48
10	1	48	5.0	0.139	2.7
11	0.6	12	13.5	0.051	0
13	0.6	49	8.4	0.083	2.9
14	0.6	22	3.35	0.2069	4.3

表 - 2

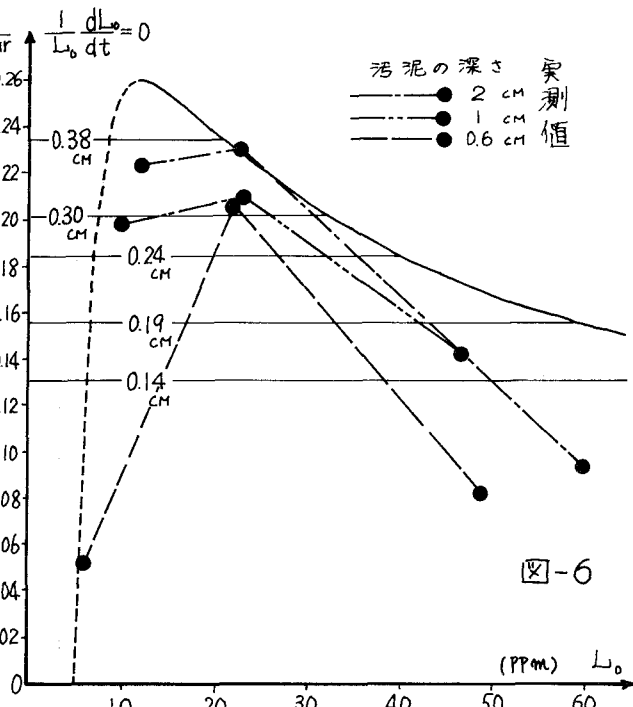


図-6